

# ПРОВОДИМОСТЬ ТРЕХМЕРНОЙ МОДЕЛИ КОМПОЗИТА С ВКЛЮЧЕНИЯМИ В ВИДЕ СФЕРОИДОВ

*Б. Я. Балагуров\**

*Институт биохимической физики им. Н. М. Эмануэля Российской академии наук  
119334, Москва, Россия*

Поступила в редакцию 9 января 2017 г.

Дано решение задачи о проводимости трехмерной модели композита с включениями, имеющими форму сжатых эллипсоидов вращения (сфероидов), в широком интервале изменения концентрации. Рассмотрен весь диапазон изменения формы включений — от сферы до бесконечно тонкого кругового диска. Установлена связь порогов протекания в этой модели с величинами, характеризующими ее эффективную проводимость в пределе малой концентрации включений.

DOI: 10.7868/S0044451017060153

## 1. ВВЕДЕНИЕ

Изучение электрофизических свойств (в частности, проводимости) композиционных материалов является одной из приоритетных задач физики твердого тела. Для практических целей достаточно, как правило, выяснить зависимость эффективной проводимости  $\sigma_e$  от концентрации включений и других характеристик композита в широкой области их изменения. С теоретической точки зрения, особый интерес представляет изучение величины  $\sigma_e$  в сравнительно узкой окрестности порога протекания — критической концентрации, при которой происходит фазовый переход металл–диэлектрик. Как известно, в рамках гипотезы подобия [1] критические индексы проводимости одинаковы для всех неупорядоченных композитов и зависят только от размерности пространства. В то же время порог протекания не является универсальной характеристикой композитов и определяется конкретным видом включений. Поэтому выяснение влияния формы включений на величину порога протекания также представляет собой актуальную задачу и для эксперимента, и для теории.

Для двумерных моделей композитов исследованию влияния формы включений на эффективную проводимость (в том числе на порог протекания) посвящен ряд работ [2–9]. В работах [2–5] компьютер-

ными методами рассматривалось подобное влияние диэлектрических включений в виде бесконечно тонких царапин, крестиков, квадратов, эллипсов и т. д. В работах [6, 7] изучалась зависимость проводимости реальных тонких пленок от числа пробитых в них отверстий (прорезей) вытянутой формы, имитирующих царапины. Наконец, в работах [8, 9] подобная задача решалась аналитическими методами — как точными, так и приближенными.

При рассмотрении сходных проблем в трехмерном случае ограничиваются, как правило, компьютерными экспериментами [10–14]. В этих работах основное внимание уделялось выяснению влияния формы включений (эллипсоиды, кубы, бесконечно тонкие непроницаемые для тока пластинки и т. д.) на порог протекания. В то же время зависимость эффективной проводимости от концентрации включений при заданной их форме в работах [10–14] практически не изучалась даже в случае малых концентраций, когда возможен строгий аналитический подход [15].

Цель настоящей статьи — дать аналитическое решение задачи о проводимости трехмерной модели композита со случайно распределенными в пространстве и хаотически ориентированными включениями, имеющими форму сжатых эллипсоидов вращения (сфероидов). Рассмотрены случаи как диэлектрических ( $d$ ), так и идеально проводящих ( $s$ ) включений формы, меняющейся от сферы до бесконечно тонкого кругового диска. В линейном по концентрации  $N$  включений приближении определены константы  $N_{Id}$  и  $N_{Is}$  — величины, характери-

\* E-mail: balagurov@deom.chph.ras.ru, byabalagurov@mail.ru

зующие начальные участки зависимости  $\sigma_e(N)$ . Эти константы существенно зависят от величины и формы включения (в данном случае — от размера полусей сфероида и их отношения  $\gamma$ ) и играют важную роль во всем интервале изменения концентрации  $N$ .

При немалой концентрации включений проводимость рассматриваемой модели определена с помощью приближенного подхода — так называемой теории эффективной среды [16], или метода ЕМА (effective medium approximation). Этот метод удовлетворительно описывает, например, электропроводность случайно неоднородной системы в широкой области изменения концентрации [17]. Можно ожидать, что метод ЕМА с приемлемой точностью будет описывать и эффективную проводимость рассматриваемой модели.

Следует отметить, что приближение эффективной среды, как и всякая теория типа самосогласованного поля, неприменимо в окрестности порога протекания. Предсказывая сам факт существования фазового перехода металл–диэлектрик, это приближение дает для порога протекания оценку, справедливую только по порядку величины. В настоящей работе установлена приближенная связь величин  $N_{Id}$  и  $N_{Is}$  с реальными критическими концентрациями соответственно  $N_{cd}$  и  $N_{cs}$ . Эта связь дает возможность получить для величин  $N_{cd}$  и  $N_{cs}$  аналитические выражения, позволяющие определять (с точностью около 1%) пороги протекания во всем диапазоне изменения параметра  $\gamma$  — отношения полуосей сфероида:  $0 \leq \gamma \leq \infty$ .

## 2. ЛИНЕЙНОЕ ПО КОНЦЕНТРАЦИИ ПРИБЛИЖЕНИЕ

Эффективная электропроводность  $\sigma_e$  неоднородной системы, состоящей из матрицы проводимости  $\sigma_1$  и сферических включений проводимости  $\sigma_2$ , в линейном по концентрации приближении дается выражением, отличающимся от известной формулы для диэлектрической проницаемости такой смеси (см. [18], §9) только обозначениями. Для такой же системы с включениями произвольной формы величина  $\sigma_e$  в этом приближении может быть выражена через тензор дипольной поляризуемости  $\hat{\Lambda}$  отдельного включения [15]. Тензор  $\hat{\Lambda}$  определяется через дипольный момент  $\mathbf{p}$  включения, наведенный внешним однородным электрическим полем напряженности  $\mathbf{E}_0$ , следующим образом:

$$\mathbf{p} = \hat{\Lambda} \mathbf{E}_0. \tag{1}$$

В задаче об электропроводности тензор  $\hat{\Lambda}$  зависит как от размера и формы включения, так и от отношения проводимостей компонент  $\sigma_2/\sigma_1$ . Для диэлектрических и идеально проводящих включений тензор поляризуемости  $\hat{\Lambda}$  зависит только от их геометрических характеристик.

В линейном по концентрации приближении безразмерная эффективная проводимость  $f = \sigma_e/\sigma_1$  изотропной в целом среды имеет вид [15]

$$f = 1 + \frac{4\pi}{3} N \text{Sp} \hat{\Lambda}. \tag{2}$$

Здесь  $N$  — размерная концентрация включений (их число в единице объема). Появление в формуле (2) следа тензора  $\hat{\Lambda}$  связано с усреднением по случайным ориентациям включений.

При  $\sigma_2 = 0$  соответствующую безразмерную эффективную проводимость  $f_d$  запишем в виде

$$f_d = 1 - \frac{N}{N_{Id}}, \tag{3}$$

где

$$N_{Id} = \frac{3}{4\pi |\text{Sp} \hat{\Lambda}_d|}. \tag{4}$$

В выражениях (3) и (4) учтено, что для диэлектрических включений  $\text{Sp} \hat{\Lambda}_d < 0$ . Соответственно, при  $\sigma_2 = \infty$  проводимость  $f_s$  системы с идеально проводящими включениями запишем, с учетом неравенства  $\text{Sp} \hat{\Lambda}_s > 0$ , в виде

$$f_s = 1 + \frac{N}{N_{Is}}, \tag{5}$$

$$N_{Is} = \frac{3}{4\pi \text{Sp} \hat{\Lambda}_s}. \tag{6}$$

Введенные в выражениях (3)–(6) константы  $N_{Id}$  и  $N_{Is}$  зависят только от геометрии включений и, как будет ясно из дальнейшего, задают масштаб, в котором может меняться концентрация  $N$ .

Главные значения  $\Lambda_\mu$  тензора дипольной поляризуемости эллипсоида имеют вид

$$\Lambda_\mu = -\frac{a_x a_y a_z}{3} \frac{\sigma_1 - \sigma_2}{\sigma_1 - (\sigma_1 - \sigma_2) n^{(\mu)}}, \quad \mu = x, y, z. \tag{7}$$

Здесь  $a_\mu$  — полуоси эллипсоида,  $n^{(\mu)}$  — коэффициенты деполяризации. Для сплюснутого эллипсоида вращения ( $a_x = a_y > a_z$ ) [18]

$$n^{(z)} = \frac{1 + \varepsilon^2}{\varepsilon^3} (\varepsilon - \text{arctg} \varepsilon), \quad \varepsilon = \frac{\sqrt{a_x^2 - a_z^2}}{a_z} \tag{8}$$

и  $n^{(x)} = n^{(y)} = (1 - n^{(z)})/2$ . Для сферического включения ( $a_\mu = R$ ) имеем  $n^{(\mu)} = 1/3$ , так что

$$\Lambda = -R^3 \frac{\sigma_1 - \sigma_2}{2\sigma_1 + \sigma_2}, \quad (9)$$

и в этом случае из равенства (2) с учетом (9) следует

$$f = 1 - 3c \frac{\sigma_1 - \sigma_2}{2\sigma_1 + \sigma_2}, \quad (10)$$

где  $c = 4\pi R^3 N/3$  — безразмерная концентрация включений (доля занимаемого объема). Выражение (10) отличается от известной формулы для диэлектрической проницаемости смеси [18] только обозначениями.

Для системы с диэлектрическими и идеально проводящими включениями сферической формы получаем соответственно

$$N_{Id} = \frac{1}{2\pi R^3} \simeq \frac{0.159}{R^3}, \quad N_{Is} = \frac{1}{4\pi R^3} \simeq \frac{0.080}{R^3}. \quad (11)$$

Для диэлектрического эллипсоида из выражения (7) следует

$$(\hat{\Lambda}_d)_\mu = -\frac{a_x a_y a_z}{3} \frac{1}{1 - n^{(\mu)}}, \quad (12)$$

так что при  $a_x = a_y = R \neq a_z$  находим

$$N_{Id} = \frac{A_d}{R^3}, \quad A_d = \frac{9\gamma}{4\pi} \frac{1 - (n^{(z)})^2}{5 - 3n^{(z)}}, \quad \gamma = \frac{R}{a_z}. \quad (13)$$

Здесь величина  $n^{(z)}$  определена согласно (8) и  $\gamma$  — отношение полуосей сплюснутого ( $\gamma \geq 1$ ) сфероида.

Для идеально проводящего эллипсоида из формулы (7) получаем

$$(\hat{\Lambda}_s)_\mu = \frac{a_x a_y a_z}{3} \frac{1}{n^{(\mu)}}, \quad (14)$$

так что для включений в виде эллипсоидов вращения получаем

$$N_{Is} = \frac{A_s}{R^3}, \quad A_s = \frac{9\gamma}{4\pi} \frac{n^{(z)}(1 - n^{(z)})}{1 + 3n^{(z)}} \quad (15)$$

с теми же  $n^{(z)}$  и  $\gamma$ . Для сферического ( $\gamma = 1$ ) включения  $n^{(z)} = 1/3$  и из (13), (15) следуют выражения (11).

При  $a_z \ll R$  ( $\gamma \gg 1$ ) из формулы (8) находим

$$n^{(z)} \simeq 1 - \frac{\pi}{2\gamma}, \quad n^{(x)} = n^{(y)} \simeq \frac{\pi}{4\gamma}. \quad (16)$$

В пределе  $\gamma \rightarrow \infty$ , отвечающем включению в виде бесконечно тонкого кругового диска, из выражений (13) и (15) получаем

$$N_{Id} = \frac{9}{8R^3} = \frac{1.125}{R^3}, \quad N_{Is} = \frac{9}{32R^3} \simeq \frac{0.281}{R^3}. \quad (17)$$

Сравнение выражений (17) и (11) показывает, что непроницаемый диск радиуса  $R$  вносит в сопротивление композита такой же вклад, как и диэлектрическая сфера радиуса приблизительно  $0.521R$ , а идеально проводящий диск — как и сфера радиуса примерно  $0.656R$  в проводимость.

Заметим, что необходимым условием справедливости линейного приближения (2) является независимость вкладов отдельных включений в сопротивление или проводимость. Это условие выполняется, если не перекрываются области возмущенного потока вокруг включений. Другими словами, размер такой области должен быть мал по сравнению со средним расстоянием между центрами включений  $\ell \sim N^{-1/3}$ . В случае сферы радиуса  $R$  поток возмущается на расстоянии порядка  $R$ , так что условием применимости выражения (10) является  $NR^3 \ll 1$  или  $c \ll 1$  для безразмерной концентрации. Для круговых дисков радиуса  $R$  аналогичные соображения также приводят к условию  $NR^3 \ll 1$ . В общем случае линейное по концентрации приближение справедливо при  $N \ll \{N_{Id}, N_{Is}\}$ , т. е. когда поправка к единице в выражении (2) мала.

С увеличением концентрации идеально проводящих включений (например, дисков) эффективная проводимость  $\sigma_e$  композита возрастает и при  $N = N_{cs}$  происходит фазовый переход, при котором  $\sigma_e$  обращается в бесконечность. Для качественной оценки порога протекания  $N_{cs}$  заметим, что если среднее расстояние между центрами дисков  $\ell \sim N^{-1/3}$  велико по сравнению с их радиусом  $R$ , то в такой системе не может образоваться так называемый бесконечный кластер [1], по которому происходит протекание. Напротив, при  $\ell \ll R$  и хаотической ориентации дисков такое протекание будет происходить. Следует ожидать поэтому, что пути протекания, пронизывающие весь образец, начнут появляться при промежуточных значениях  $\ell \sim R$ , так что для соответствующего порога получаем оценку

$$N_{cs} \sim \frac{1}{R^3}. \quad (18)$$

Оценка (18) справедлива по порядку величины, т. е. с точностью до численного коэффициента.

В случае идеально проводящих сфер для порога протекания  $N_{cs}$  также получаем оценку типа (18), но, вообще говоря, с другим численным коэффициентом.

В среде с диэлектрическими включениями при  $N = N_{cd}$  происходит другой фазовый переход, при котором эффективная проводимость обращается в нуль. Порядковая оценка для  $N_{cd}$  в случае непрони-

цаемых для тока дисков и сфер также имеет вид (18), однако следует ожидать, что здесь численный коэффициент будет существенно больше, чем для идеально проводящих включений. Это связано с тем, что прервать течение тока по проводящей матрице с помощью диэлектрических дисков или сфер значительно труднее, чем организовать по ним «протекание». Для обращения величины  $\sigma_e$  в нуль диэлектрические включения должны сблизиться на гораздо меньшее расстояние, чем идеально проводящие для обращения  $\sigma_e$  в бесконечность. Эти соображения подтверждаются результатами компьютерных экспериментов (см. разд. 4), в ходе которых определялись соответствующие численные коэффициенты в выражениях для  $N_{cd}$  и  $N_{cs}$ . Подчеркнем, что в этих экспериментах включения считались, как правило, «мягкими» (перекрывающимися), а распределение их центров — пуассоновским.

### 3. ПРИБЛИЖЕНИЕ ЕМА

Для количественной оценки проводимости обсуждаемой модели при немалых концентрациях воспользуемся приближением эффективной среды — методом ЕМА [16], обобщенным на случай включений произвольной формы.

Рассмотрим модель бинарного композита, состоящего из изотропной матрицы проводимости  $\sigma_1$  и одинаковых включений (проводимости  $\sigma_2$ ) фиксированной формы. Включения случайным образом распределены в пространстве и хаотически ориентированы, так что система в целом изотропна, а ее эффективная проводимость  $\sigma_e$  является скалярной величиной. Основное уравнение метода ЕМА в этом случае имеет вид [15]

$$p(\sigma_e - \sigma_1) \frac{3\sigma_e}{2\sigma_e + \sigma_1} - \frac{4\pi}{3} N \sigma_e \text{Sp } \hat{\Lambda} = 0. \quad (19)$$

Здесь  $p$  — безразмерная концентрация (доля занимаемого объема) первой компоненты (матрицы),  $N$  — размерная концентрация включений (их число в единице объема),  $\hat{\Lambda}$  — тензор дипольной поляризуемости включения, окруженного «эффективной средой» с проводимостью  $\sigma_e$ .

В общем случае тензор  $\hat{\Lambda}$  в (19) зависит от отношения  $\sigma_2/\sigma_e$ , так что без знания такой зависимости это уравнение неразрешимо. Однако для диэлектрических ( $\sigma_2 = 0$ ) включений тензор  $\hat{\Lambda}_d$  зависит только от их геометрии, и в этом случае для безразмерной эффективной проводимости  $f_d = \sigma_e^{(d)}/\sigma_1$  из уравнения (19) находим

$$f_d = \frac{p - (4\pi/9) N |\text{Sp } \hat{\Lambda}_d|}{p + (8\pi/9) N |\text{Sp } \hat{\Lambda}_d|}. \quad (20)$$

Для «бестелесных» (нулевого объема) включений имеем  $p = 1$ , так что из равенства (20) следует

$$f_d = \frac{1 - (4\pi/9) N |\text{Sp } \hat{\Lambda}_d|}{1 + (8\pi/9) N |\text{Sp } \hat{\Lambda}_d|}. \quad (21)$$

Отсюда для соответствующего порога протекания находим выражение

$$N_{cd}^{EMA} = \frac{9}{4\pi |\text{Sp } \hat{\Lambda}_d|}. \quad (22)$$

Для «бестелесных» включений в приближении метода ЕМА сравнение выражений (22) и (4) дает

$$N_{cd}^{EMA} = 3 N_{Id}. \quad (23)$$

Для кругового диска, согласно (12), имеем

$$(\hat{\Lambda}_d)_x = (\hat{\Lambda}_d)_y = 0, \quad (\hat{\Lambda}_d)_z = -\frac{2}{3\pi} R^3 \quad (24)$$

и из (22) получаем

$$N_{cd}^{EMA} = \frac{27}{8} \frac{1}{R^3} = \frac{3.375}{R^3}. \quad (25)$$

Этот же результат следует из соотношения (23) при подстановке выражения для  $N_{Id}$  из (17).

В случае идеально проводящих включений для безразмерной проводимости  $f_s = \sigma_e^{(s)}/\sigma_1$  из (19) находим

$$f_s = \frac{p + (4\pi/9) N \text{Sp } \hat{\Lambda}_s}{p - (8\pi/9) N \text{Sp } \hat{\Lambda}_s}. \quad (26)$$

Для «бестелесных» включений соотношение (26) принимает вид

$$f_s = \frac{1 + (4\pi/9) N \text{Sp } \hat{\Lambda}_s}{1 - (8\pi/9) N \text{Sp } \hat{\Lambda}_s}, \quad (27)$$

откуда для соответствующего порога протекания получаем следующее выражение:

$$N_{cs}^{EMA} = \frac{9}{8\pi \text{Sp } \hat{\Lambda}_s}. \quad (28)$$

Сравнение выражений (28) и (6) дает

$$N_{cs}^{EMA} = (3/2) N_{Is}. \quad (29)$$

Для идеально проводящего диска, согласно (14), имеем

$$(\hat{\Lambda}_s)_x = (\hat{\Lambda}_s)_y = \frac{4}{3\pi} R^3, \quad (\hat{\Lambda}_s)_z = 0, \quad (30)$$

так что в этом случае

$$N_{cs}^{EMA} = \frac{27}{64} \frac{1}{R^3} \simeq \frac{0.422}{R^3}. \quad (31)$$

Этот же результат следует из соотношения (29) при подстановке выражения для  $N_{Is}$  из (17).

Использованный в этом разделе метод ЕМА является, как уже отмечалось, приближенным. Следует ожидать, тем не менее, что, как и в ряде других случаев (см. [15–17]), этот метод удовлетворительно описывает проводимость рассмотренной модели в достаточно широком диапазоне изменения концентрации и других входящих в задачу параметров. В то же время приближение эффективной среды теряет применимость в окрестности порога протекания — точки фазового перехода. Поэтому даваемые методом ЕМА значения критических концентраций (порогов протекания) имеют оценочный, по порядку величины, характер. Сравнительно точные значения порогов протекания определяются в ходе компьютерных экспериментов, результаты которых обсудим в следующем разделе.

#### 4. ПОРОГИ ПРОТЕКАНИЯ

Изучение влияния формы включений на проводимость трехмерных моделей композитов проводилось компьютерными методами в ряде работ [10–14]. Рассматривались включения в виде сфер, эллипсоидов, кубов, а также бесконечно тонких пластинок различных форм (круговых, квадратных и др.). При этом основное внимание уделялось определению критической концентрации, при которой возникает протекание по включениям. Достаточно подробно эта проблема исследована, например, в работе [10], где в качестве включений были взяты эллипсоиды вращения с отношением полуосей, меняющимся практически от нуля до бесконечности.

В модели работы [10] эллипсоиды были хаотически ориентированы, а их центры случайным образом (по Пуассону) распределены в пространстве. При этом включения являлись «мягкими», т. е. допускалось их взаимное пересечение. В этом случае безразмерная концентрация  $c$  включений (доля занятого ими объема) связана с размерной концентрацией  $N$  соотношением [10]

$$c = 1 - e^{-\phi}, \quad \phi = vN, \quad (32)$$

где  $v$  — объем включения.

По мере увеличения концентрации  $N$  в момент достижения некоторого порогового значения в такой системе возникает протекание по включениям. Для соответствия с предыдущим следует считать

эти включения идеально проводящими, так что упомянутая критическая концентрация является порогом  $N_{cs}$ , при котором проводимость системы обращается в бесконечность. Соответствующая безразмерная критическая концентрация включений  $c_{cs}$  связана с  $N_{cs}$  соотношением, аналогичным (32):

$$c_{cs} = 1 - e^{-\phi_{cs}}, \quad \phi_{cs} = vN_{cs}. \quad (33)$$

В работе [10] вычислялась зависимость величины  $c_{cs}$  (в [10] она обозначена как  $p_c$ ) от отношения полуосей сфероида  $\gamma = R/a_z$ .

В настоящей работе по приведенным в [10] данным для  $c_{cs}$  вычислялась величина

$$\phi_{cs} = \ln \frac{1}{1 - c_{cs}}, \quad (34)$$

после чего находился размерный порог

$$N_{cs} = \frac{B_s(\gamma)}{R^3}, \quad B_s(\gamma) = \gamma \frac{3\phi_{cs}}{4\pi}, \quad \gamma = \frac{R}{a_z}. \quad (35)$$

Для сферы ( $\gamma = 1$ ) получаем  $B_s(1) \simeq 0.080$ , в то время как  $B_s^{EMA}(1) \simeq 0.097$ . Соответственно для диска ( $\gamma = \infty$ )  $B_s(\infty) \simeq 0.304$  и  $B_s^{EMA}(\infty) \simeq 0.422$ . Таким образом, как и отмечалось выше, метод ЕМА дает для порога  $N_{cs}$  только оценку по порядку величины.

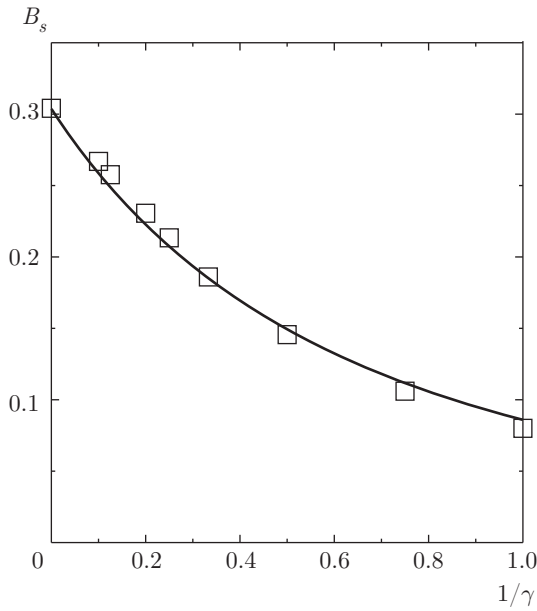
В то же время, как следует из сравнения с (11) и (17), в обоих предельных случаях определенная по формуле (35) величина  $B_s$  близка к значениям коэффициента  $A_s$  из выражения (15) для константы  $N_{Is}$ . Приближенное выполнение в этих двух пределах равенства величин  $B_s$  и  $A_s$  наводит на мысль о его проверке и при промежуточных значениях параметра  $\gamma$ . Вычисление зависимости от  $\gamma$  отношения  $B_s/A_s$  с использованием данных для  $c_{cs}$  из работы [10] и формулы (15) для  $A_s$  приводит к выводу о том, что с точностью в несколько процентов  $B_s/A_s = 1.08$  при всех доступных для проверки значениях  $\gamma$ . Это обстоятельство позволяет получить приближенное аналитическое выражение для коэффициента  $B_s$  из формулы (35) для  $N_{cs}$ ,

$$B_s(\gamma) \simeq 1.08 \frac{9\gamma}{4\pi} \frac{n^{(z)}(1 - n^{(z)})}{1 + 3n^{(z)}}, \quad (36)$$

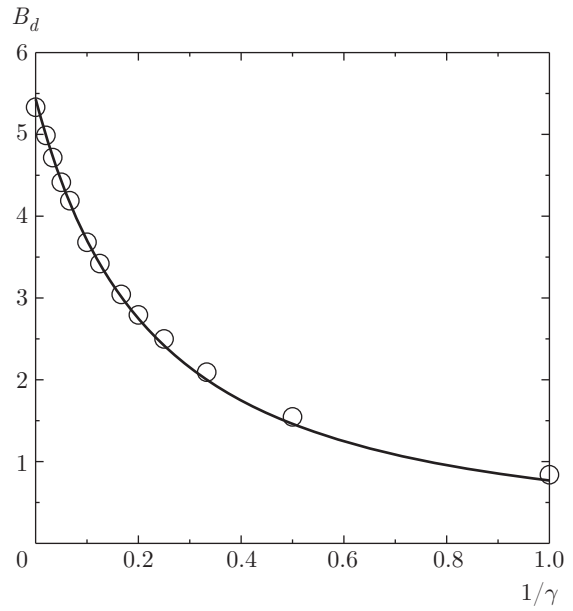
с  $n^{(z)}$  из (8) при  $a_x = R$ . Коэффициент  $B_s$  как функция величины  $1/\gamma$  представлен на рис. 1. Квадраты — значения  $B_s$ , вычисленные по данным для  $c_{cs}$  из работы [10].

Аналогичная задача для системы с диэлектрическими включениями в виде сжатых сфероидов решалась компьютерными методами в работе [19]. В этом случае безразмерный порог протекания  $p_{cd}$  (доля объема, занятая проводящей компонентой) связан с размерной критической концентрацией  $N_{cd}$  следующим образом:





**Рис. 1.** Зависимость коэффициента  $B_s$  от параметра  $1/\gamma$ , вычисленная по формуле (36); значки — значения  $B_s$ , вычисленные по данным для  $c_s$  из работы [10]



**Рис. 2.** Зависимость коэффициента  $B_d$  от параметра  $1/\gamma$ , вычисленная по формуле (39); значки — значения  $B_d$ , вычисленные по данным для  $p_{cd}$  из работы [19]

$$p_{cd} = \exp(-\phi_{cd}), \quad \phi_{cd} = vN_{cd}. \quad (37)$$

Здесь включения считаются «мягкими» и распределенными по Пуассону.

С учетом определения величины  $\phi_{cd}$  из (37) выражение для размерного порога  $N_{cd}$  запишем в виде

$$N_{cd} = \frac{B_d(\gamma)}{R^3}, \quad B_d(\gamma) = \gamma \frac{3\phi_{cd}}{4\pi}. \quad (38)$$

Используя данные работы [19], для сферы находим  $B_d(1) \simeq 0.839$ , в то время как  $B_d^{EMA}(1) \simeq 0.477$ . Для диска получаем соответственно  $B_d(\infty) \simeq 5.332$  и  $B_d^{EMA} = 3.375$ . Здесь метод ЕМА также дает для порога протекания только порядковую («буквенную») оценку.

Вычисление отношения коэффициентов  $B_d/A_d$  с использованием данных из [19] и формулы (13) показывает, что с удовлетворительной (порядка 1%) точностью выполняется равенство  $B_d/A_d = 4.83$  во всем диапазоне изменения параметра  $\gamma$ . Это позволяет предложить следующее приближенное аналитическое выражение для коэффициента  $B_d$ :

$$B_d(\gamma) \simeq 4.83 \frac{9\gamma}{4\pi} \frac{1 - (n^{(z)})^2}{5 - 3n^{(z)}}, \quad (39)$$

где  $n^{(z)}$  дается формулой (8) при  $a_x = R$ . Зависимость  $B_d$  из (39) от величины  $1/\gamma$  изображена на рис. 2.

Использованная в настоящей работе размерная концентрация  $N$  удобна тем, что в равной мере применима и к объемным, и к «бестелесным» включениям. В то же время в стандартной теории протекания [1, 20] обычно рассматриваются объемные включения, используется безразмерная концентрация и, соответственно, безразмерные пороги протекания. Как известно [1, 20], в такой системе имеются две безразмерные критические концентрации, связь которых с порогами  $N_{cd}$  и  $N_{cs}$  следует выяснить.

Рассмотрим бинарную систему, состоящую из проводящей матрицы (первая компонента с долей занимаемого объема  $p$ ) и диэлектрических включений (вторая компонента с объемной концентрацией  $c = 1 - p$ ). При концентрации  $p$ , меньшей некоторого значения  $p_{c1}$ , проводящая компонента (матрица) представляет собой изолированные, не связанные друг с другом, конечные кластеры и поэтому система в целом является диэлектриком. Напротив, при  $p > p_{c1}$  образуется бесконечный кластер [1, 20], возникает протекание тока по матрице и система становится проводящей. Первая критическая концентрация  $p_{c1}$ , при которой происходит этот фазовый переход, обычно и называется порогом протекания и обозначается как  $p_c$ . Величина  $p_{c1}$  очевидным образом совпадает с  $p_{cd}$  из соотношения (37), так что

$$p_c \equiv p_{c1} = \exp(-vN_{cd}). \quad (40)$$

С дальнейшим ростом концентрации  $p$  вторая (диэлектрическая) компонента становится все более изрезанной и при  $p > p_{c2}$  превращается в набор не связанных между собой островков. Величина  $p_{c2}$  является второй критической концентрацией, при которой исчезает (в процессе увеличения  $p$ ) «протекание» по диэлектрической компоненте. Нетрудно видеть, что  $p_{c2} = 1 - c_{cs}$  с  $c_{cs}$  из соотношения (33), так что

$$p_{c2} = \exp(-vN_{cs}). \quad (41)$$

Здесь и в (40) считается, что включения «мягкие» и распределены по Пуассону.

По определению  $p_{c2} > p_{c1}$ , так что

$$N_{cs} < N_{cd} \quad (42)$$

при одинаковых по размеру и форме включениях. Для рассмотренных в работе сфероидов из неравенства (42) следует

$$B_s < B_d, \quad (43)$$

что согласуется с соображениями, высказанными в конце разд. 2.

Таким образом, с изменением концентрации в бинарной системе происходят следующие метаморфозы. При  $p < p_{c1}$  отсутствует протекание по первой компоненте, но имеется по второй. При  $p > p_{c2}$ , напротив, есть протекание по первой компоненте и отсутствует по второй. А при промежуточной концентрации  $p_{c1} < p < p_{c2}$  сосуществуют протекания по обеим компонентам. Иллюстрацией последнего случая может служить губчатый металл с развитой системой пор. Через такой образец могут одновременно протекать электрический ток по металлической матрице и жидкость по порам.

## ЛИТЕРАТУРА

1. A. L. Efros and B. I. Shklovskii, Phys. Stat. Sol. (b) **76**, 475 (1976).
2. G. E. Pike and C. H. Seager, Phys. Rev. B **10**, 1421 (1974).
3. I. Balberg and N. Binenbaum, Phys. Rev. B **28**, 3799 (1983).
4. W. J. Boudville and T. C. McGill, Phys. Rev. B **39**, 369 (1989).
5. E. J. Garboczi, M. F. Thorpe, M. S. De Vries, and A. R. Day, Phys. Rev. A **43**, 6473 (1991).
6. J. Tobochnik, M. A. Dubson, M. L. Wilson, and M. F. Thorpe, Phys. Rev. A **40**, 5370 (1989).
7. K. H. Han, J. O. Lee, and Sung-Ik Lee, Phys. Rev. B **44**, 6791 (1991).
8. Б. Я. Балагуров, ЖТФ **81**(5), 1 (2011).
9. Б. Я. Балагуров, ЖТФ **82**(8), 11 (2012).
10. E. J. Garboczi, K. A. Snyder, J. F. Douglas, and M. F. Thorpe, Phys. Rev. E **52**, 819 (1995).
11. C. D. Lorenz and R. M. Ziff, J. Chem. Phys. **114**, 3659 (2001).
12. D. R. Baker, G. Paul, S. Sreenivasam, and H. E. Stanley, Phys. Rev. E **66**, 046136 (2002).
13. Y. B. Yi, Phys. Rev. E **74**, 031112 (2006).
14. Y. B. Yi and E. Tawerghi, Phys. Rev. E **79**, 041134 (2009).
15. Б. Я. Балагуров, *Электрофизические свойства композитов. Макроскопическая теория*, URSS-Ленанд, Москва (2015).
16. R. J. Landauer, J. Appl. Phys. **23**, 779 (1952).
17. S. Kirkpatrick, Rev. Mod. Phys. **45**, 574 (1973).
18. Л. Д. Ландау, Е. М. Лифшиц, *Электродинамика сплошных сред*, Наука, Москва (1992).
19. Y. B. Yi and K. Esmail, J. Appl. Phys. **111**, 124903 (2012).
20. Б. И. Шкловский, А. Л. Эфрос, УФН **117**, 401 (1975).